

塑性变形对 Cu-Ni-Fe 合金失稳分解组织 不连续粗化的影响 *

李洪晓 郝新江 赵刚 郝士明

(东北大学材料与冶金学院, 沈阳 110006)

摘要 固溶处理后的塑性变形能促进 Cu-Ni-Fe 合金时效过程中失稳分解组织的不连续粗化。塑性变形程度对不连续粗化组织的最终形态有明显的影响: 变形程度较小时 (75%), 组织呈近片层状; 变形程度增大后 (98%), 组织呈近等轴状。失稳分解组织不连续粗化转变的动力学可以用 JMA 方程很好地描述, 75% 变形时的 Avrami 指数约为 1。

关键词 失稳分解, 塑性变形, 不连续粗化

中图法分类号 TG113.12, TG146.1 文献标识码 A 文章编号 0412-1961(1999)05-0449-04

EFFECT OF PLASTIC DEFORMATION ON DISCONTINUOUS COARSENING OF SPINODALLY DECOMPOSED MICROSTRUCTURE IN Cu-Ni-Fe ALLOY

LI Hongxiao, HAO Xinjiang, ZHAO Gang, HAO Shiming

School of Materials and Metallurgy, Northeastern University, Shenyang 110006

Correspondent: LI Hongxiao, lecturer, Tel: (024)23893000-7737

Manuscript received 1998-11-19, in revised form 1999-03-04

ABSTRACT Plastic deformation prior to aging has profoundly enhanced the discontinuous coarsening reaction of the spinodally decomposed microstructure in Cu-Ni-Fe alloy. The extent of plastic deformation has obvious effect on the morphology of discontinuous coarsening: when the deformation is relatively small (75% reduction in thickness), the morphology of discontinuous coarsening almost changes into lamellar microstructure; when the deformation is large (98% reduction in thickness), the morphology of discontinuous coarsening transforms into equiaxed structure. The kinetics of the discontinuous coarsening can be described by the Johnson-Mehl-Avrami equation very well, and the Avrami exponent of the sample deformed by 75% reduction is about 1.

KEY WORDS spinodal decomposition, plastic deformation, discontinuous coarsening

失稳分解有可能成为制备纳米材料的又一个途径, 近年来已引起人们新的关注^[1]。但研究发现, 某些失稳分解后的组织在长时间时效中将发生不连续粗化转变, 即通过形核长大机制形成比失稳分解组织粗得多的胞状两相组织, 这种转变靠消耗细的失稳分解组织而持续进行^[2-4]。

目前关于不连续粗化的研究还很不系统, 关于塑性变形对不连续粗化的影响, 研究得更少, 得到的结论还存在着分歧。例如 Rao 等在变形后时效的组织中没有发现不连续粗

化^[5,6]; Lefevre 等则认为时效前的塑性变形对不连续粗化的生长有明显的促进作用^[7]。

为了掌握失稳分解组织的转变规律, 实现对组织的有效控制, 本文研究了塑性变形程度及时效温度对 Cu-Ni-Fe 合金失稳分解组织不连续粗化的影响。

1 实验方法

实验合金的原料为高纯 Fe (纯度 99.9%)、电解 Cu (纯度 99.95%) 和电解 Ni (纯度 99.9%), 采用 ZG-10 型真空感应电炉, 在 Ar 气保护下熔炼并铸锭, 锭重 5 kg。根据已测 Cu-Ni-Fe 系合金相图^[8], 设计合金成分为 45Cu-30Ni-25Fe (原子分数, %, 下同)。预期该成分合金发生失稳分解时形成的富 Cu 相和贫 Cu 相各占约 50% (体积分数)。

* 国家自然科学基金 59671012 和中国科学院金属研究所固体原子像开放研究实验室资助项目

收到初稿日期: 1998-11-19, 收到修改稿日期: 1999-03-04

作者简介: 李洪晓, 女, 1968 年生, 讲师, 博士研究生

沿铸锭纵向取断面为 $20\text{ mm} \times 20\text{ mm}$ 的条形坯料，坯料在固溶处理（ $1000\text{ }^{\circ}\text{C}$ ，保温 8 h，并随炉升温至 $1100\text{ }^{\circ}\text{C}$ ，保温 48 h）后水淬，再分别进行 75% 和 98% 冷轧变形，然后分别在 $600, 700, 800, 900, 950$ 和 $975\text{ }^{\circ}\text{C}$ 时效不同时间。试样的固溶及时效处理均在真空下进行，真空中度约 1 Pa。

金相样品经硝酸—冰醋酸水溶液腐蚀，在 Versamet-2 光学显微镜和 Philips XL30 FEG 扫描电镜上观察组织；并用能谱分析了失稳分解组织的两相成分，用截线法测定了不连续粗化组织的体积分数。

2 实验结果与讨论

2.1 失稳分解组织不连续粗化后的组织形态

固溶处理后直接在 $900\text{ }^{\circ}\text{C}$ ，时效 1 h，合金即发生了均匀的失稳分解，形成富 Cu 相和贫 Cu 相；但即使时效时间延长到 100 h，失稳分解组织也没有发生不连续粗化，而只是发生了均匀的连续粗化如图 1 所示，其中高亮度相为贫 Cu 相，成分为 $24.25\text{Cu}-38.8\text{Ni}-36.95\text{Fe}$ ；另一相为富 Cu 相，成分为 $72.48\text{Cu}-15.86\text{Ni}-11.66\text{Fe}$ 。

固溶处理的合金经冷轧变形 75% 后，在 $900\text{ }^{\circ}\text{C}$ ，时效 2 h，就在滑移带处观察到了失稳分解组织不连续粗化的形核，如图 2a 所示。其它地方只发生了失稳分解，及失稳分解组织的缓慢的连续粗化，如图 2b 所示。已形核的不连续粗化组织以胞状向失稳分解组织中生长，如图 2c 所示，在时效 100 h 后粗化胞相互接触，形成近片层状的组织，如图 2d 所示。

与变形量为 75% 时不同的是，变形量为 98% 的试样在 $900\text{ }^{\circ}\text{C}$ 时效时，不连续粗化的形核率明显增大（见图 3a）。随着时效时间的延长，不连续粗化核心进一步长大，但由于形核率高，不连续粗化胞得不到充分生长，使转变的最终组织成为近等轴状（见图 3b）。

2.2 失稳分解组织不连续粗化转变的动力学

固溶处理后的合金，不论变形量大小，随后在 $600\text{ }^{\circ}\text{C}$ 时效直至 100 h，都没有发生失稳分解组织的不连续粗化。固溶处理后冷轧变形 75% 的试样，在 $700-950\text{ }^{\circ}\text{C}$ 间时效，将发生不连续粗化转变。随时效温度的提高，不连续粗化转变加快； $975\text{ }^{\circ}\text{C}$ 已高于失稳分解的上限温度，在此温度时效，发生了向单一 γ 相的转变，已不再是不连续粗化。变形 75% 的试样，发生不连续粗化转变的动力学曲线如图 4 所示。采用 Johnson-Mehl-Avrami(JMA) 方程可以很好地描述这种转变的动力学。

用该方程对实验结果进行拟合，可以求得 Avrami 指数 n 及常数 k

$$X = 1 - \exp(-kt^n)$$

式中的 X 是不连续粗化的体积分数， t 是时效时间。

值得指出的是各温度的 Avrami 指数均约为 1，而不是一般固态相变的 3—4。这可以由不连续粗化只能在滑移带上形核这个制约条件得到解释。当滑移带布满晶核后，便不再形成新的晶核，因而 n 值较低。这与 Cahn 等对只在晶界上形核时的转变动力学特征的解释相似 [9]。

固溶处理后冷轧变形 98%，再在 $900\text{ }^{\circ}\text{C}$ 时效的不连续粗化转变的动力学曲线也在图 4 中一并画出。变形量增大后，不连续粗化转变速度变快，相同时间内不连续粗化转变的体积分数增大。

2.3 失稳分解组织不连续粗化转变的激活能

将变形量 75% 的失稳分解组织不连续粗化过程，采用 Arrhenius 方程描述，可以求出不连续粗化转变的激活能 Q 。由图 4 的动力学曲线，取不连续粗化的体积分数达到 50% 时的时效时间 t ，以 $\ln t$ 与温度的倒数 $1/T$ 的关系作图（见图 5），由直线的斜率求得激活能 $Q=194\text{ kJ/mol}$ 。这个数值

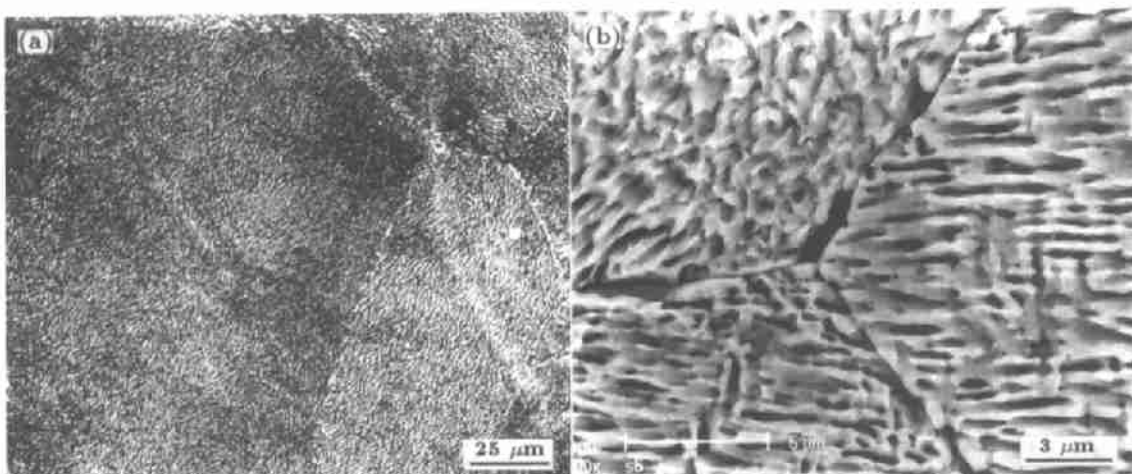


图 1 固溶处理后直接在 $900\text{ }^{\circ}\text{C}$ 时效 100 h 的显微组织

Fig.1 Microstructure of the alloy aged at $900\text{ }^{\circ}\text{C}$ for 100 h after solution
(a) OM (b) SEM

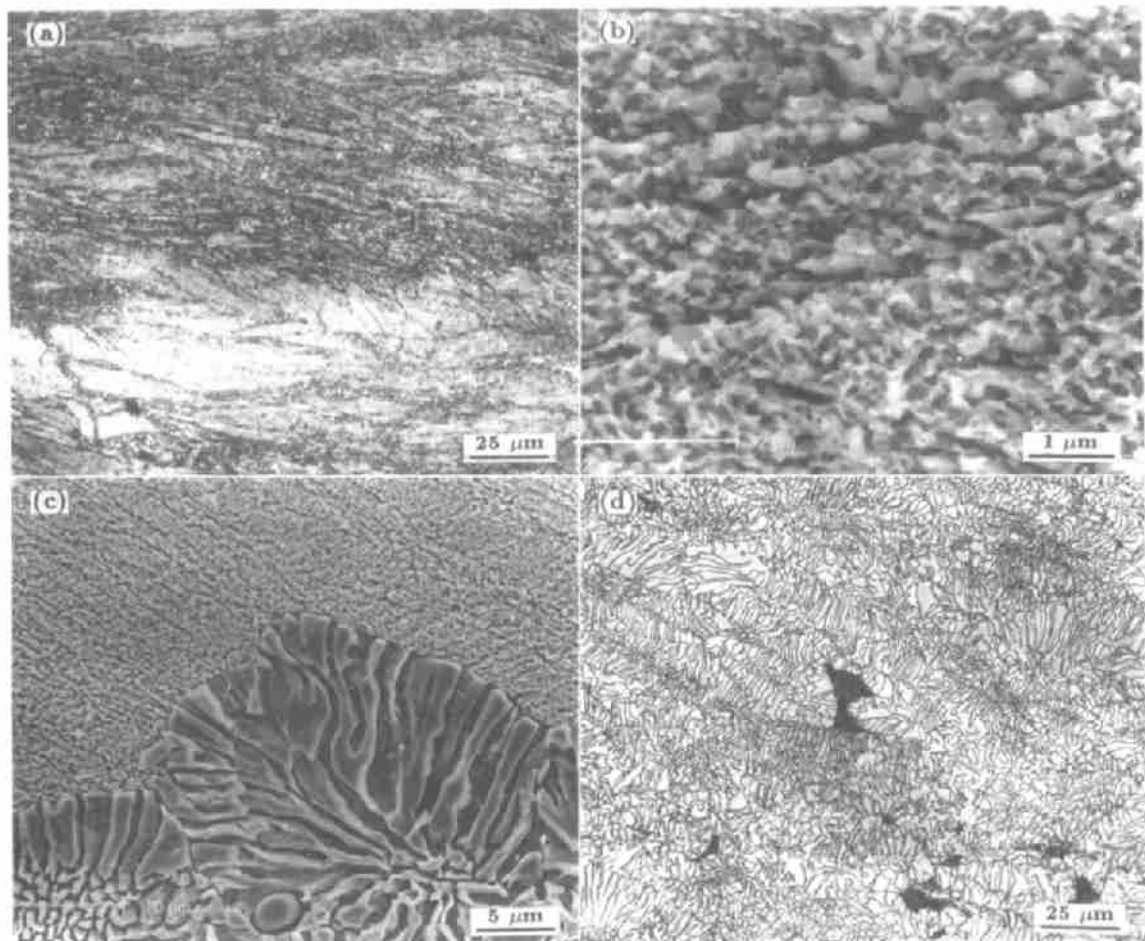


图 2 固溶处理后冷轧变形 75% 的合金在 900 °C 时效的显微组织

Fig.2 Microstructure of the alloy aged at 900 °C after solution and cold rolling by 75% reduction

(a) 2 h (b) 8 h (SEM) (c) 48 h (SEM) (d) 100 h

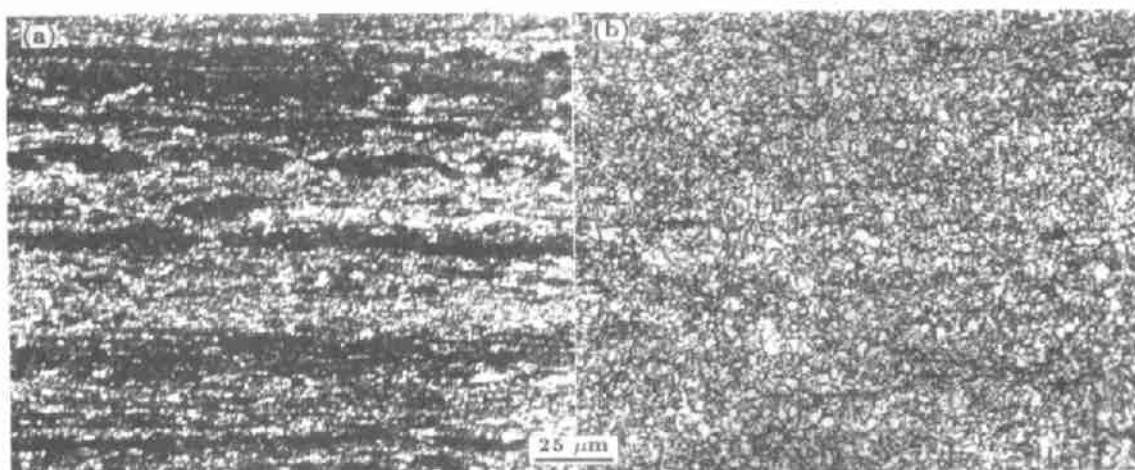


图 3 固溶处理后冷轧变形 98% 的合金在 900 °C 时效的显微组织

Fig.3 Microstructure of the alloy aged at 900 °C after solution and cold rolling by 98% reduction

(a) 2 h (b) 100 h

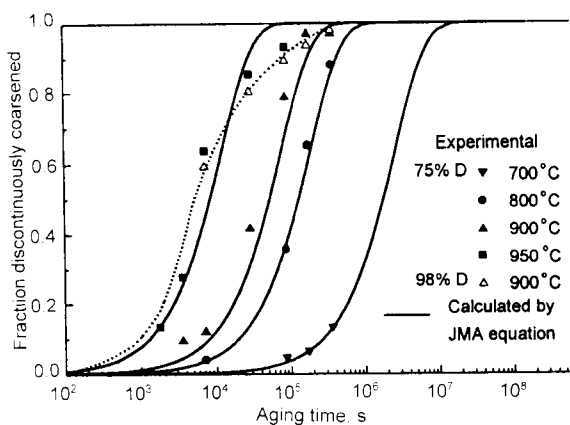


图 4 固溶后变形 75% 和 98% 时合金不连续粗化动力学曲线

Fig.4 Kinetics of discontinuous coarsening of the alloy after solution and cold rolling (75% and 98% reduction)

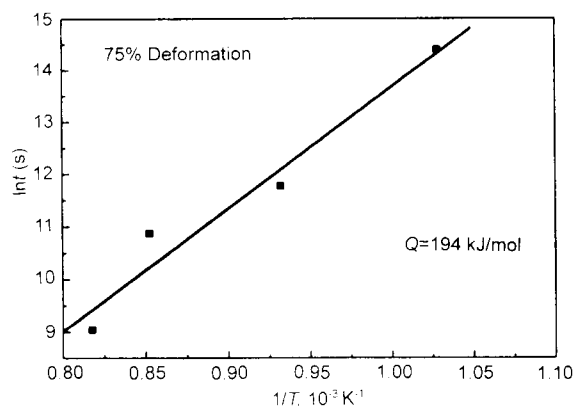


图 5 变形 75% 的合金不连续粗化转变 5% 时的时间与温度关系

Fig.5 Temperature vs time obtained 5% discontinuous coarsening for the alloy cold rolled 75%

比 Cu-Ni-Fe 系 γ 相中互扩散激活能小得多, 相当于界面扩散的激活能。这个结果支持不连续粗化是界面扩散控制的推断。

3 结论

(1) 塑性变形显著改变了失稳分解组织不连续粗化后的形态。在较小的变形程度(75%)下, 由于形核率低, 组织呈近片层状; 在较大的变形程度(98%)下, 由于形核率高, 组织呈近等轴状。

(2) 塑性变形显著改变了失稳分解组织不连续粗化的速度。随变形量的增加, 不连续粗化速度明显加快。

(3) 失稳分解组织不连续粗化的动力学可以用 JMA 方程很好地描述, 75% 变形时的 Avrami 指数约等于 1。这是由形核位置的限制所决定的。

参考文献

- [1] Wang X T, Ren X B, Wei Y H. *Rare Met Mater Eng*, 1995; 24 (3): 1
(王笑天, 任小兵, 卫英慧. 稀有金属材料与工程, 1995; 24 (3): 1)
- [2] Gronsky R, Thomas G. *Acta Metall*, 1975; 23: 1163
- [3] Findik F, Flower H M. *Mater Sci Technol*, 1992; 8: 197
- [4] Findik F, Flower H M. *Mater Sci Technol*, 1993; 9: 408
- [5] Bhat R R, Rao P P. *J Mater Sci*, 1994; 29: 4808
- [6] Bhat R R, Rao P P. *Z Metallk*, 1994; 85: 237
- [7] Lefevre B G, D'Annessa A T, Kalish D. *Metall Trans A*, 1978; 9A: 577
- [8] Qin G W, Li H X, Jiang M, Zhao G, Hao S M. In: Zhang W J, Hao S M, Jin Z P eds, *CALPHAD XXVII International Conference*, Beijing: The Chinese Physical Society, 1998: 35
- [9] Feng D. *Metal Physics II*. Beijing: Science Press, 1990: 182
(冯端. 金属物理学. 第二卷, 北京: 科学出版社, 1990: 182)